

УДК 539.21

**ИССЛЕДОВАНИЕ ОДНОМЕРНОЙ МОДЕЛИ ХАББАРДА  
С СИЛЬНЫМИ КОРРЕЛЯЦИЯМИ  
КВАНТОВЫМ МЕТОДОМ МОНТЕ-КАРЛО**

*C. H. Молотков, И. А. Рыжкин, В. В. Татарский*

Квантовым методом Монте-Карло при конечной температуре и различных концентрациях носителей исследована одномерная модель Хаббарда с сильным внутриузельным отталкиванием. Вычислена зависимость энергии системы, корреляторов плотность—плотность, спин—спин от концентрации электронов. Показано, что с отклонением заполнения от половинного ближний антиферромагнитный порядок нарушается и система переходит в жидкость из коррелированных пар.

В последнее время значительно возрос интерес к электронным системам с сильными корреляционными эффектами, которые описываются моделями типа модели Хаббарда [1]. Интерес объясняется прежде всего высказанной в работе Андерсона [2] гипотезой о возможности реализации в таких системах сверхпроводящего состояния, обусловленного электронными корреляциями и описания, таким образом, явления высокотемпературной сверхпроводимости [3, 4]. При развитии этого направления был получен ряд фундаментальных результатов о природе основного состояния, возбуждениях, механизме сверхпроводимости в системах с сильными корреляционными эффектами [5-7]. К сожалению, почти все эти результаты были либо высказаны в виде гипотез, либо получены в рамках простых приближений типа самосогласованного поля. Специфика моделей с сильными корреляциями заключается в том, что подтвердить или оценить область их применимости с помощью аналитических методов очень трудно. Практически единственным более или менее надежным способом решения этих задач является метод численного моделирования.

Цель настоящей работы — исследование одномерной модели Хаббарда с сильными корреляциями квантовым методом Монте-Карло. Ниже мы будем пользоваться методом, развиваемым в работах Хирша и др. [8, 9], который состоит в сведении  $d$ -мерной квантовой задачи к  $d+1$ -мерной классической. Формально этот метод применим при произвольных константах взаимодействия. Однако предел сильного взаимодействия, а именно эта область представляет интерес, требует очень больших затрат машинного времени. Даже для одномерной модели Хаббарда сложно продвинуться в область больших констант связи, не говоря уже о двумерном и трехмерном случаях [9]. Этих трудностей можно избежать, если использовать условие сильных корреляций и привести гамильтониан Хаббарда к редуцированной форме.

Использование одномерной модели также позволяет провести сравнение с точными решениями [10-12], где это возможно, и оценить точность метода Монте-Карло. При этом основное внимание будем уделять проверке качественных результатов, высказанных в работах [2, 5-7]. Конечно, в одномерной модели не следует ожидать наличия сверхпроводимости. Тем не менее свойства основного состояния представляют интерес, поскольку одномерная модель послужила в большой степени источником идей в этой области [13].

Модель Хаббарда в однозонном приближении описывается гамильтонианом [1]

$$\hat{H} = -t \sum_{\langle i,j \rangle} c_{i\sigma}^\dagger c_{j\sigma} + U \sum_i n_{i\uparrow} n_{i\downarrow}, \quad (1)$$

где  $t$  — матричный элемент перекрытия между ближайшими соседями  $i, j$ ;  $U$  — константа внутриузельного кулоновского отталкивания;  $c_{i\sigma}^\dagger, c_{j\sigma}$ ,  $n_{i\uparrow}, n_{i\downarrow}$  — операторы рождения, уничтожения и числа частиц. Дополнительным параметром модели является коэффициент заполнения  $\nu = n_e/N$ , где  $n_e$  — число электронов,  $N$  — число узлов в системе. Для определенности полагаем  $\nu > 1$ .

Случаю сильных корреляций соответствует  $t/U \ll 1$ . При этом, рассматривая кинетическую энергию как возмущение, с точностью до членов второго порядка по  $t/U$  можно привести гамильтониан к редуцированной форме [14, 15], справедливой в подпространстве без пустых узлов

$$\hat{H} = -t \sum_{ij} n_{i-\sigma} c_{i\sigma}^\dagger c_{j\sigma} n_{j-\sigma} - 2t^2/U \sum_{ij} [n_{i\sigma} (1 - n_{i-\sigma}) n_{j-\sigma} (1 - n_{j\sigma}) - c_{i\sigma}^\dagger c_{i-\sigma} c_{j-\sigma}^\dagger c_{j\sigma}]. \quad (2)$$

Использование редуцированной формы означает учет состояний, возникающих только из вырожденного основного состояния в пределе  $t=0$ , что заметно сокращает время вычислений.

Для численного моделирования используется метод сведения  $d$ -мерной квантовой задачи к  $d+1$ -мерной классической [8, 9]. Приведем основные формулы на примере вычисления статистической суммы

$$Z = \text{tr}(e^{-\beta \hat{H}}). \quad (3)$$

Представим гамильтониан в виде суммы членов, относящихся к четным и нечетным связям

$$\hat{H} = \hat{H}_1 + \hat{H}_2, \quad \hat{H} = \sum_{\text{неч}} \hat{H}_{i-i+1}, \quad \hat{H} = \sum_{\text{чет}} \hat{H}_{i-i+1}, \quad (4)$$

и разобьем интервал  $[0, \beta]$  на  $L$  интервалов величиной  $\Delta\tau = \beta/L$ . При  $L \rightarrow \infty$ ,  $\Delta\tau \rightarrow 0$  можно разбить экспоненту от суммы в уравнении (3) на произведение экспонент, поскольку в этом пределе поправки из-за некоммутативности операторов  $\sim \Delta\tau^2$  имеем

$$Z = \text{tr}[(\hat{U}_1 \hat{U}_2)^L], \quad (5)$$

где  $\hat{U}_{1,2} = \exp(-\Delta\tau H_{1,2})$ . Далее запишем след в формуле (5) в явном виде, вставляя полную систему функций на каждом временному срезе

$$Z = \sum \langle k_1 | \hat{U}_1 | k_2 \rangle \langle k_2 | \hat{U}_2 | k_3 \rangle \dots \langle k_{2L} | \hat{U}_2 | k_1 \rangle, \quad (6)$$

где состояние  $|k\rangle$  имеет вид

$$|k_j\rangle = \begin{pmatrix} n_{1j\uparrow} & n_{2j\uparrow} & \dots & n_{Nj\uparrow} \\ n_{1j\downarrow} & n_{2j\downarrow} & \dots & n_{Nj\downarrow} \end{pmatrix}, \quad (7)$$

$n_{ij\uparrow}, n_{ij\downarrow}$  — числа заполнения узла  $i$  электронами со спинами  $\uparrow$  и  $\downarrow$  в  $j$  срезе по мнимому времени из интервала  $[0, \beta]$ .

Выражение (6) представляет собой след от произведения матриц, который удобно представить графически следующим образом. Рассмотрим две квадратные решетки размером  $N \times 2L$ , расположенные друг над другом. Верхняя отвечает электронам со спинами  $\uparrow$ , нижняя со спинами  $\downarrow$  (рис. 1). Узлам решеток соответствуют числа заполнения  $n_{i\uparrow}, n_{i\downarrow}$ , равные 0 или 1. Горизонтальные сечения отвечают  $2L$  состояниям типа (7) в выражении (6). Переход от одного сечения к другому, к следующему, определяется матричными элементами оператора эволюции  $\langle i | \hat{U}_{1,2} | i' \rangle$ . Используя со-

отношения (4), (5), можно представить матрицы эволюции в виде произведения матриц размером  $4 \times 4$  типа

$$\begin{Bmatrix} n_{ij}^{\uparrow} & n_{i+1,j}^{\uparrow} \\ n_{ij}^{\downarrow} & n_{i+1,j}^{\downarrow} \end{Bmatrix} e^{-\Delta\tau \hat{H}_{i,i+1}} \begin{Bmatrix} n_{ij+1}^{\uparrow} & n_{i+1,j+1}^{\uparrow} \\ n_{ij+1}^{\downarrow} & n_{i+1,j+1}^{\downarrow} \end{Bmatrix}. \quad (8)$$

Этим матрицам соответствуют кубы с заштрихованными верхними и нижними гранями, причем вершинам кубов приписываются числа заполнения электронов, соединим — занятые вершины на передней и задней гранях. В результате на полной двухслойной решетке получается набор непересекающихся периодических по мимому времени фермионных траекторий. Отсутствие пересечений является следствием принципа Паули.

Суммирование в формуле (6) означает суммирование по всем допустимым траекториям. Отметим, что траектории являются непрерывными. Для разорванных траекторий вклад в статистическую сумму обращается в нуль.

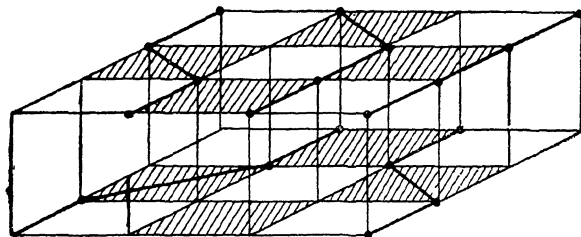


Рис. 1. Элемент двухслойной шахматной доски.

Верхний и нижний слои соответствуют электронам со спинами  $\uparrow, \downarrow$ . Заштрихованным квадратам соответствуют операторы эволюции  $\hat{U}_1, \hat{U}_2$ . Жирные линии изображают электронные мировые линии.

Для суммирования по всевозможным траекториям использовался метод Монте-Карло. Генерация различных конфигураций траекторий осуществлялась посредством алгоритма Метрополиса [16]. Применительно к нашей задаче он заключается в следующем. На каждом шагу делается попытка локального изменения минимально возможного числа траекторий. Наименьшее локальное изменение состоит в переключении траектории без ее разрыва в пределах одного незаштрихованного куба. Все допустимые конфигурации кубов, допускающие локальное переключение, изображены на рис. 2.

Для вычисления вероятностей перехода необходимо знать матричные элементы оператора эволюции, которые можно найти, зная действие  $\hat{U}_1, \hat{U}_2$  на состояние пары узлов

$$\begin{aligned} \hat{U}_i \begin{vmatrix} 10 \\ 01 \end{vmatrix} &= e^{\Delta\tau V/2} \left\{ \operatorname{ch}(\Delta\tau V/2) \begin{vmatrix} 10 \\ 01 \end{vmatrix} - \operatorname{sh}(\Delta\tau V/2) \begin{vmatrix} 01 \\ 10 \end{vmatrix} \right\}, \\ \hat{U}_i \begin{vmatrix} 01 \\ 10 \end{vmatrix} &= e^{\Delta\tau V/2} \left\{ \operatorname{ch}(\Delta\tau V/2) \begin{vmatrix} 01 \\ 10 \end{vmatrix} - \operatorname{sh}(\Delta\tau V/2) \begin{vmatrix} 10 \\ 01 \end{vmatrix} \right\}, \\ \hat{U}_i \begin{vmatrix} 01 \\ 11 \end{vmatrix} &= \operatorname{ch}[(\Delta\tau V)] \begin{vmatrix} 01 \\ 11 \end{vmatrix} + \operatorname{sh}(\Delta\tau V) \begin{vmatrix} 10 \\ 11 \end{vmatrix}, \\ \hat{U}_i \begin{vmatrix} 10 \\ 11 \end{vmatrix} &= \operatorname{ch}(\Delta\tau V) \begin{vmatrix} 10 \\ 11 \end{vmatrix} + \operatorname{sh}[(\Delta\tau V)] \begin{vmatrix} 01 \\ 11 \end{vmatrix}, \\ \hat{U}_i \begin{vmatrix} 11 \\ 10 \end{vmatrix} &= \operatorname{ch}(\Delta\tau V) \begin{vmatrix} 11 \\ 10 \end{vmatrix} + \operatorname{sh}[(\Delta\tau V)] \begin{vmatrix} 11 \\ 01 \end{vmatrix}, \\ \hat{U}_i \begin{vmatrix} 11 \\ 01 \end{vmatrix} &= \operatorname{ch}(\Delta\tau V) \begin{vmatrix} 11 \\ 01 \end{vmatrix} + \operatorname{sh}(\Delta\tau V) \begin{vmatrix} 11 \\ 10 \end{vmatrix}, \end{aligned}$$

$$V = 2t^2/U. \quad (9)$$

Для оставшихся состояний действие оператора  $\hat{U}_1$  эквивалентно умножению на единичную матрицу.

Вероятность элементарного переключения траектории определяется отношением произведения матричных элементов

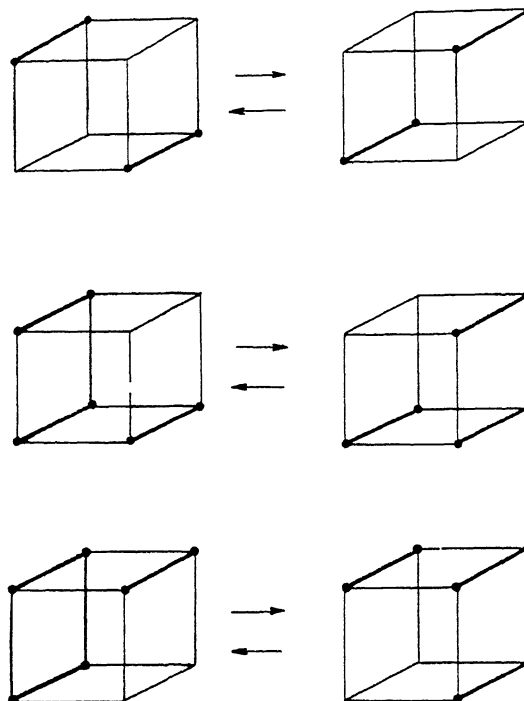


Рис. 2. Конфигурации кубов со светлыми горизонтальными гранями, допускающие элементарные изменения траекторий, и типы изменений траекторий.

$$\begin{aligned}
 & \langle \hat{n}_{i,j-1\sigma} \hat{n}_{i+1,j-1\sigma} | e^{-\Delta\tau \hat{H}_{i,j+1}} | \hat{n}_{i,j\sigma} \hat{n}_{i+1,j\sigma} \rangle, \\
 & \langle \hat{n}_{i-1,j\sigma} \hat{n}_{i,j\sigma} | e^{-\Delta\tau \hat{H}_{i-1,i}} | \hat{n}_{i-1,j+1\sigma} \hat{n}_{i,j+1\sigma} \rangle, \\
 & \langle \hat{n}_{i+1,j\sigma} \hat{n}_{i+2,j\sigma} | e^{-\Delta\tau \hat{H}_{i+1,i+2}} | \hat{n}_{i+1,j+1\sigma} \hat{n}_{i+2,j+1\sigma} \rangle, \\
 & \langle \hat{n}_{i,j+1\sigma} \hat{n}_{i+1,j+1\sigma} | e^{-\Delta\tau \hat{H}_{i,j+1}} | \hat{n}_{i,j+2\sigma} \hat{n}_{i+1,j+2\sigma} \rangle, \\
 & |\hat{n}_{i,j\sigma} \hat{n}_{i+1,j\sigma}\rangle = \begin{pmatrix} n_{i,j}^{\uparrow} n_{i+1,j}^{\uparrow} \\ n_{i,j}^{\downarrow} n_{i+1,j}^{\downarrow} \end{pmatrix} \tag{10}
 \end{aligned}$$

до и после переключения траекторий.

Результатом таких переключений конфигураций является марковская цепь длины  $M$ . Статистическое среднее от некоторого оператора определяется как

$$\langle \hat{A} \rangle = \frac{1}{M} \sum_{k=1}^M A_k, \tag{11}$$

где  $A_k$  — значение оператора для  $k$ -й реализации траекторий.

### Вычисления и результаты

В данной работе определены при различных температурах и числах заполнения следующие величины:

спин-спиновая корреляционная функция

$$S(k) = 4(-1)^k \langle s_{i+k}^z s_i^z \rangle = (-1)^k \langle (n_{i+k}^{\uparrow} - n_{i+k}^{\downarrow})(n_i^{\uparrow} - n_i^{\downarrow}) \rangle, \tag{12}$$

корреляционная функция плотность—плотность

$$\rho(k) = (-1)^k \langle (n_{i+k\uparrow} + n_{i+k\downarrow}) (n_{i\downarrow} + n_{i\uparrow}) \rangle, \quad (13)$$

средняя энергия системы

$$\langle E \rangle = \text{tr} (\hat{H} e^{-\beta \hat{H}}) / z. \quad (14)$$

Отметим, что вычисления средних значений по формуле (11) возможно только для операторов диагональных в представлении чисел заполнения. Именно такой случай имеет место при вычислении  $S(k)$  и  $\rho(k)$ . Для среднего значения энергии необходимо вычислять статистическое среднее от гамильтониана, который недиагонален в представлении чисел заполнения. Среднее от такого оператора можно представить в виде

$$\langle A \rangle = \text{tr} \left\{ P(i_1, i_2, \dots, i_{2L}) \frac{\langle i_1 | \hat{A} \hat{U} | i_2 \rangle}{\langle i_1 | \hat{U} | i_2 \rangle} \right\}, \quad (15)$$

где  $P(i_1, i_2, \dots, i_{2L})$  — вероятность данной конфигурации траекторий. Фактически это означает, что для каждой реализации необходимо вычис-

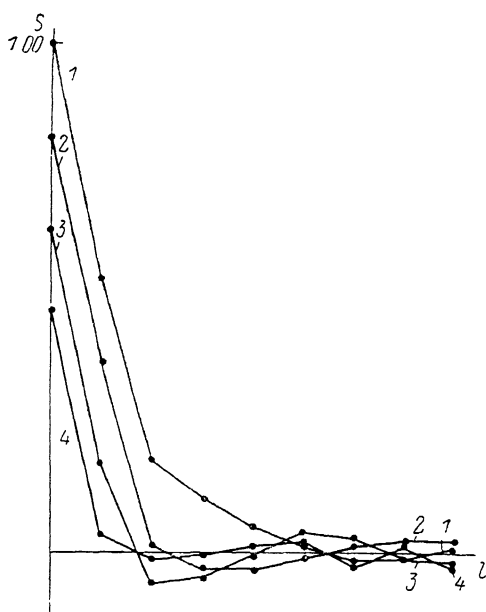


Рис. 3. Спин-спиновые корреляционные функции  $S(l)$  при коэффициентах заполнения  $v=0.0$  (1),  $0.2$  (2),  $0.4$  (3),  $0.5$  (4).  $L=512$ ,  $T/V=0.02$ .

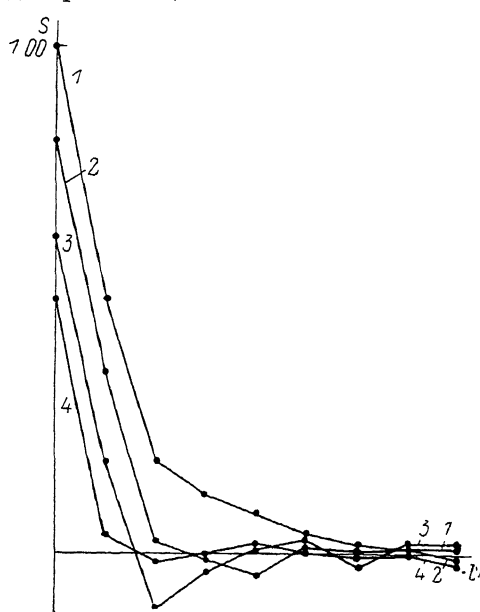


Рис. 4. Спин-спиновые корреляционные функции  $S(l)$  при  $v=0.0$  (1),  $0.2$  (2),  $0.4$  (3),  $0.5$  (4).  $L=64$ ,  $T/V=0.16$ .

лять отношение матричных элементов  $\langle i_1 | \hat{A} \hat{U} | i_2 \rangle / \langle i_1 | \hat{U} | i_2 \rangle$  и усреднять такую величину.

В наших расчетах число пространственных узлов системы равнялось 32. Для уменьшения влияния границ использовались периодические граничные условия. Отношение матричного элемента перескока к внутриузельному отталкиванию равнялось  $t/U=0.1$ . Отклонения заполнения от половинного  $v=1$  были следующие: 0,  $6/32$ ,  $12/32$ ,  $16/32$ . Для сохранения одинаковой точности расчетов при различных температурах фиксировалась величина  $\Delta T=0.1$ . Температура при этом определялась числом интервалов по оси мнимого времени  $L$ . Значения  $L=512, 256, 128, 64, 32$  соответствуют величине  $T/V=0.02 \div 0.3$ . Число попыток при элементарном акте переключения траектории равнялось 15 000 на каждый пространственно-временной куб.

Из расчетов следует, что корреляционная функция плотность—плотность (13) распадается на произведение средних  $\langle n_{i+k} \rangle \langle n_i \rangle$ , что говорит

о полном отсутствии корреляций электронной плотности на разных узлах. Таким образом, состояние с волной зарядовой плотности в системе отсутствует, что вполне естественно, поскольку гамильтониан не содержит членов отталкивания электронов на соседних узлах.

На рис. 3, 4 приведена спин-спиновая корреляционная функция при  $L=512, 64$  и различных числах заполнения. Антиферромагнитные корреляции распространяются на несколько постоянных решетки. Данный факт свидетельствует о том, что состояние системы не является неелевским, а обнаруживает только ближний антиферромагнитный порядок. При  $\nu=1$  и  $t/U \ll 1$  модель Хаббарда сводится к модели Гейзенберга со спином  $1/2$ . Спин-спиновая корреляционная функция на соседних узлах для такой модели при  $T=0$  была вычислена точно в работе [11]. Значение  $S(k)$  в наших расчетах  $S(1)=0.140$  с хорошей точностью согласуется с точным значением  $S(1)=-(\ln(2)-1/4)/3=0.147$ . Точность при этом

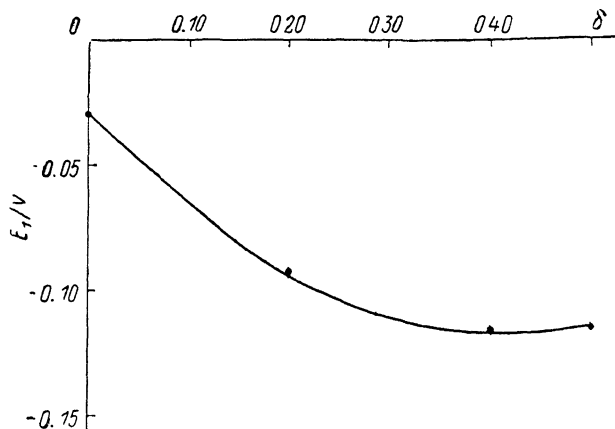


Рис. 5. Зависимость энергии  $E_1$  от заполнения  $\delta$ .  $T/V=0.02$ .

определяется числом разбиений интервала  $[0, \beta]$ . Для достижения большей точности необходимо увеличивать число интервалов разбиения по оси мнимого времени  $L$ .

Далее из рис. 3, 4 видно, что корреляции убывают с ростом температуры (уменьшением  $L$ ) и коэффициента заполнения. При  $\nu=1 \geq 12/32$  поведение корреляционной функции с расстоянием существенно меняется. Ближний антиферромагнитный порядок разрушается, но разрушение порядка происходит не с полной потерей корреляций спинов ближайших соседей. Антиферромагнитные корреляции ближних узлов остаются, но пропадают корреляции между синглетными парами спинов. Происходит как бы сбой ориентации синглетных пар в разных местах цепочки (рис. 3). На наш взгляд, данный факт можно интерпретировать как переход системы в состояние квантовой жидкости из сильно коррелированных синглетных пар [2].

Полная энергия на один узел в системе равна

$$E_{\text{tot}} = \delta U + E_1(\delta, T)\nu, \quad \delta = \nu - 1. \quad (16)$$

Зависимость  $E_1$  от температуры не содержит никаких особенностей, что говорит об отсутствии каких-либо фазовых переходов. Зависимость  $E_1(\delta, T)$  изображена на рис. 5. Добавка к энергии  $E_1$  от  $\delta$  отрицательна и убывает при малых  $\delta$ . Это означает, что в системе существует эффективное притяжение между электронами.

Таким образом, моделирование методом квантового Монте-Карло показывает, что с ростом заполнения  $\delta$  ближний антиферромагнитный порядок разрушается с образованием коррелированных синглетных пар, что приводит к возникновению эффективного притяжения между электронами.

В заключение авторы благодарят С. В. Иорданского и С. В. Мешкова за полезные обсуждения в процессе работы.

Л и т е р а т у р а

- [1] Hubbard J. // Proc. Roy. Soc. 1963. V. A276. P. 238—273.
- [2] Anderson P. W. // Science. 1987. V. 235. N T-10. P. 1196—1198.
- [3] Bednorz J. G., Muller K. A. // Z. Phys. B. Condensed Matter. 1986. V. 64. N 6. P. 189—193.
- [4] Wu M. K., Ashburn J. R., Torng C. J. et al. // Phys. Rev. Lett. 1987. V. 58. N 9. P. 908—910.
- [5] Baskaran G., Zou Z., Anderson P. W. // Sol. St. Comm. 1987. V. 63. N 11. P. 973—976.
- [6] Kivelson S. A., Rokhsar D. S., Sethna J. P. // Phys. Rev. 1987. V. B35. N 16. P. 8865—8868.
- [7] Zhang F. C., Gros C., Rice T. M., Shiba H. // Preprint Theoretische Physik. 1987. P. 1—39.
- [8] Hirsch J. E., Sugar R. L., Scalapino D. J., Blankenbecler R. // Phys. Rev. Lett. 1981. V. 47. N 22. P. 1628—1631.
- [9] Hirsch J. E., Sugar R. L., Scalapino D. J., Blankenbecler R. // Phys. Rev. 1982. V. B26. N 9. P. 5033—5055.
- [10] Bethe H. A. // Z. Phys. 1931. V. 71. N 6. P. 205—226.
- [11] Bonner J., Fisher M. E. // Phys. Rev. 1964. V. A135. N 3. P. 640—658.
- [12] Lieb E. H., Wu E. Y. // Phys. Rev. Lett. 1968. V. 20. N 25. P. 1445—1448.
- [13] Anderson P. W. // Materials Research Bulletin. 1973. V. 8. N 2. P. 153—160.
- [14] Emery V. // Phys. Rev. 1976. V. B14. N 7. P. 2989—2994.
- [15] Hirsch J. E. // Phys. Rev. Lett. 1985. V. 54. N 12. P. 1317—1320.
- [16] Metropolis N., Rosenbluth A. W., Rosenbluth M. N. et al. // J. Chem. Phys. 1953. V. 21. N 6. P. 1087—1098.

Институт физики твердого тела АН СССР  
Черноголовка  
Московская область

Поступило в Редакцию  
14 июля 1988 г.